

Sekundární produkce  
Obratlovcí

Ryby

**1. Odhad početnosti populací ryb**

**1. Změna velikosti úlovku na jednotku rybářského úsilí**

$$1. \text{ odlov } 10\text{t}, 2. \text{ odlov } 2,5 \text{ t} (1/4) \text{ tj. } 10/0,25 = 40\text{t}$$

**Ulovitelnost ryb pořád stejná**

**Celá populace je přístupná odlovům**

**Emigrace, imigrace a mortalita jsou vyvážené nebo  
popsané**

Přesnější metoda výpočtu DeLury (1947)

**2. odhad početnosti na základě značených jedinců**  
**Petersenova metoda:**

M – počet značených ryb, C – velikost úlovku, R – počet značených v tomto úlovku

Cíl: N - velikost populace k datu, u – míru expolatace

$$u = \frac{R}{M}, \quad N = MC/R \approx C/u$$

$$V(N) = M^2 C (C - R)/R^2$$

*Lépe:*

$$N = (M+1) \cdot (C+1)/R+1$$

②

## Odhad produkce - myby

- Allanova funkce = vztah mezi biomasy a produkci'

Ricker (1970)

$$P = \sum G_i \bar{B}$$

$G_i$  - okamžíčný koeficient

$i$  - věková skupina,  $\bar{B}$  - průměrný biomasy v daném věkovém intervalu

$$\bar{B} = \frac{B_0 (e^{G-z} - 1)}{G - z} \quad (G > z)$$

$$\bar{B} = \frac{B_0 (1 - e^{G-z})}{-(G - z)} \quad (z > G)$$

$G$  = koeficient humotnosti/konstanta

$z$  = koeficient monatelit.

## Odhad přírůstky

$$G = (\ln W_h - \ln W_0) : (t_h - t_0)$$

$W_h, W_0$  - konečná a počáteční hmotnost

odhad metabolického stavu:  $\underline{Q = A W^k}$

$Q$  - spotřeba  $O_2$ ,  $A, k$  - konstanty - plasty:  $Q = 0,3 W^{0,8}$

Příručka na energetiku:

(3)

$$1 \text{ mol } O_2 = 20 \text{ J} ; 1 \text{ g báliko výživové masy} \\ = 20,8 \text{ kJ (fotína)} \\ \text{záliv. hm.} = 4,66 \text{ kJ}$$

fp. spotřeba 1 mol  $O_2$  = ~~stála~~ 0,001 g fotíny  
= 0,005 g záliv. výživy

$$\underline{R = (24 \cdot 4,66 \cdot 0,001 \cdot 24)}$$

Velikost spotřely a výdeje energie

Obrať si na výdej

Velikost formule:

$$\Phi = \frac{\sum AB}{-\sum C}$$

A -  $\Sigma$  et.; B -  $\Sigma$  osnadejk; C - součet  
všech osnadejk (C)

## Ptoci

(4)

### Populació hustota

- hñizni' okwiy
- lñilou' metoels
- boelou' metoels
- boeluy' transek.

### Produkce:

- počet hnízdících páru
- počet hnízdišť do náro
- velikost snírky v jednotlivých hnízd.
- hmotnost výkyc
- značky na výkycích
- místnosti krovů mleček
- značky na mlečkách
- energetické hodnoty (výkyc, mlečky)

### Výpočet produkce mleček

- > produkce desetiny
  - nejvyšší výkyc, brno  
přesněstež
  - jen výkycové

[Sauci]

(5)

Hustota populacji sauca?

- konkurencja metody
- heterogenie hustoate - odleglosc i kladnosc
- metoda znaczeniowa przeliczanie odleglosc

Biomasa:

$$B = \mathfrak{J} \cdot W \quad (\text{g} \cdot \text{ha}^{-1})$$

$\mathfrak{J}$  - heterogenie dzienista,  $W$  - proporcja biomasy  
jednej

Produkcyj:

$$P = \overline{N} \cdot \overline{W} \cdot \mathfrak{H} \quad (\text{g} \cdot \text{ha}^{-1} \cdot \text{rok}^{-1})$$

 $\overline{N}$  - przeciwne rolni dzienista $\overline{W}$  - przeciwne biomasy jednej $\mathfrak{H}$  - rolni obrot populacjiMaturalna

$$N_t = N_0 \cdot e^{-\mu t} \Rightarrow \mu = \frac{\ln N_0 - \ln N_t}{t}$$

$N_0$  - dzienista na poczatku;  $N_t$  - dzienista na koncu dziesieciu lat  
 $t$  = czas: intensywnosc

$$\text{Srednia dzienista} = \bar{x} = 1/\mu$$

$$\boxed{\mathfrak{H} = 12/\bar{x}}$$

## Jebundinni' prochakee

(6)

## Bezobnalli' - suchozemství

→ ? počítání, biomasy, fluktuace,  
oscilace, ...

## Kvantifikaci' metod

- kvadratů
- párové metody
- metoda transakce

→ mod. počtu sond

- metoda transakce
- insekticidní metody
- fotoklektika

## Metody kontrof vostliky

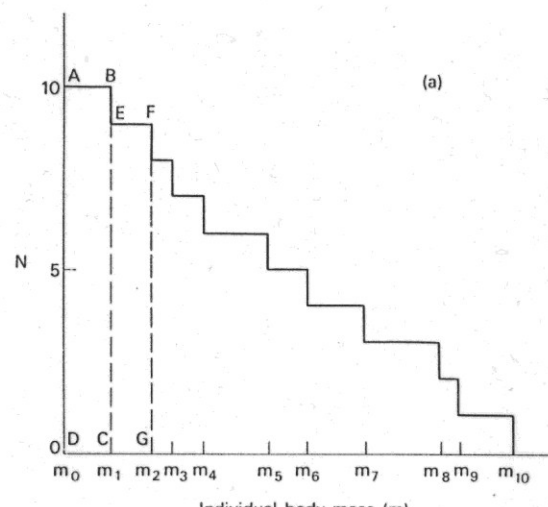
### Radio grafiční metody

Metody členy se dílčou jednotkou

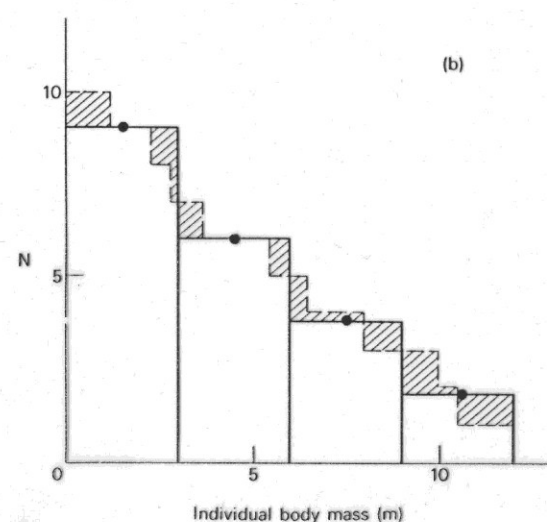
Metody základního souboru znázorňující polohu

zemní pasti, myškami a vylepkováním a sklepkováním

Měřického misky - žluté misky, lepoucí pasty

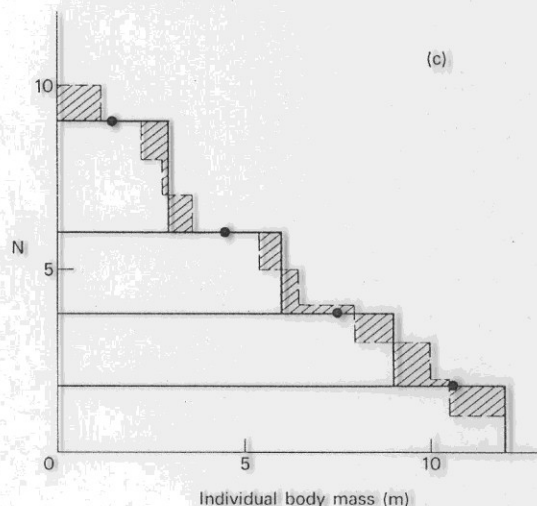


(a)

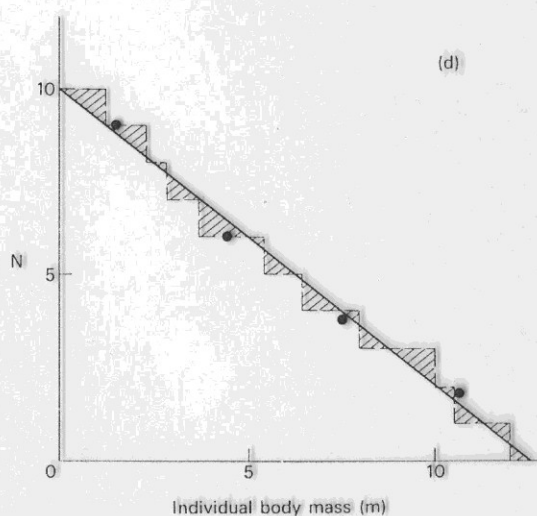


(b)

**Fig. 2.1** The calculation of production for a cohort with initial population ( $N_0$ ) of 10 organisms and a mass at birth of  $m_0$ . Panel (A) shows the calculation of production if the mass at death of each individual were known. The area enclosed in the rectangle ABCD is the production up to the death of the first individual, while the area in EFGC is the production between the death of the first animal



(c)



(d)

and the second. Other panels show the manner in which the production throughout the life of the cohort is estimated by: (B) the increment summation, (C) the mortality summation, and (D) the Allen curve methods of area integration. The bold points are observations made on the cohort and are means in a size class or during a time period. The shaded areas are errors in estimation.

Výpočet prudkosti vel. org.

(8)

Momentické' odvazeck' z Allenov kritiky

$$P_t = \frac{N_0 + N_1}{2} (w_1 - w_0) + \frac{N_1 + N_2}{2} (w_2 - w_1) \dots$$

$$\text{tj } P_t = 0.5 \sum (N_{i-1} + N_i) (w_i - w_{i-1})$$

Lepší model

Romburgnovou numerické'  
inference

Problém: populace nestaví 'definované'  
kohorty - někde používá Allenov  
model

① Biomasa jednotlivé' kohorty v časem  
(po dobu cyklu)

$$P = \left(\frac{1}{T}\right) (w_f - w_0) \cdot N_f$$

$w_f$  = biomasa na konci cyklu

$w_0$  = počáteční biomasa ;  $N_f$  = počet jedinců v kohortě

T = délka jednotlivého cyklu

② Hamiltona metoda (1969)

⑨

- s casem linearně návazné délka jedinců

$$P = 3 \alpha h J (1/T) \sum n_j L_j^2$$

$$(\sum \text{pro } j = 1 \Rightarrow J)$$

L - délka jedinců  $\Rightarrow$  J relativně frekventní  
(např. po 1 m)

$n_j$  - počet jedinců v j. lež. vel. trubky

$\alpha \Rightarrow$  empirický závislosti koeficient různých délky  
na kmitost

- matematické řešení a Mannay (1976)

$\rightarrow$  není přesnou ani funkční

$\rightarrow$  poklopbač, menší volitelný dobový  
z početech do užšího délky funkce

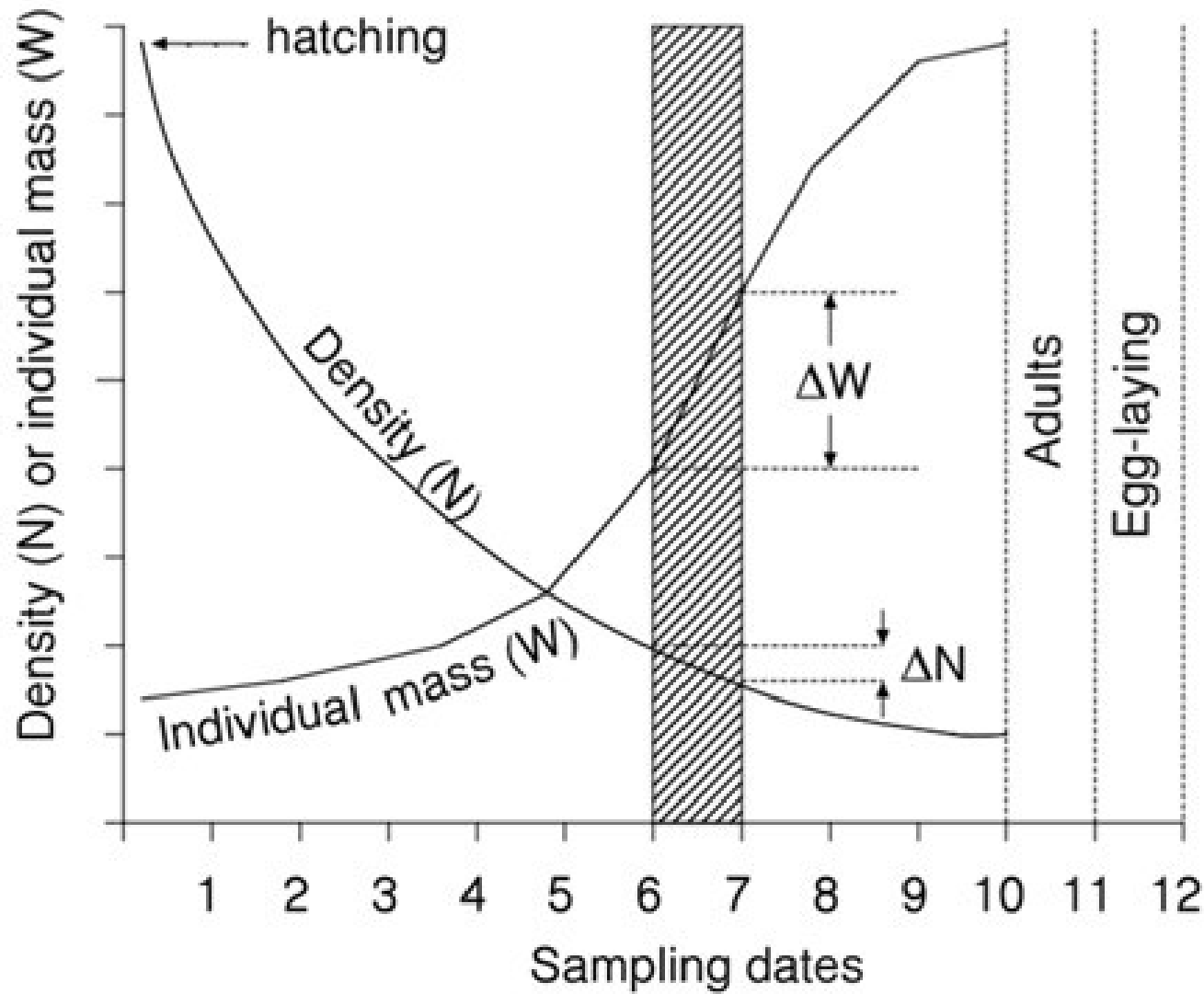
Fázovou vzdálenost funkce délky funkce

$$P_J = \Phi_{J+1} (W_{J+1} - W_J) \quad (\text{pro } W_{J+1} > W_J)$$

fázová:

$$P_J = 0.5 (W_{J+1} - W_J) (q_J + W_{J+1})$$

$q_J =$  nejdelší z. dle fázové funkce



Date	<i>N</i> (no./m <sup>2</sup> )	<i>W</i> (mg)	$\Delta W$ (mg)	$\bar{N}$ (no./m <sup>2</sup> )	$\bar{N} \Delta W$
30-May	279.0	0.076	0.268	225.5	60.4
13-Jun	172.0	0.344	0.554	155.9	86.4
27-Jun	139.8	0.898	1.021	118.3	120.8
11-Jul	96.8	1.919	2.337	121.2	283.1
25-Jul	145.5	4.256	2.088	113.1	236.1
7-Aug	80.6	6.344	2.736	78.0	213.3
28-Aug	75.3	9.080	2.909	64.6	187.8
27-Sep	53.8	11.989	7.002	48.4	338.9
25-Oct	43.0	18.991	5.841	51.1	298.2
22-Nov	59.1	24.832	0.877	51.1	44.8
24-Jan	43.0	25.709	1.961	29.6	58.0
28-Mar	16.1	27.670		Ann. P =	1927.6

